

Grażyna OBER

Instytut Mechanizacji Górnictwa  
Politechnika Śląska, Gliwice

## UJEDNOLICONE OBLICZENIA WYTRZYMAŁOŚCIOWE STOJAKÓW HYDRAULICZNYCH

Część I. Obciążenia statyczne

**Streszczenie.** W pracy przeprowadzono obliczenia wytrzymałościowe ze względu na kryterium obciążenia dopuszczalnego oraz warunku stateczności dla modelu trójczłonowego siłownika hydraulicznego stosowanego w obudowach górniczych.

Modele fizyczne i matematyczne przyjęto w warunkach ich adekwatności do rzeczywistych stojaków pod względem wytrzymałościowym i stateczności.

Dla ustalonych modeli matematycznych opracowano program do obliczeń ze względu na stateczność sprężystą oraz dopuszczalne naprężenie przy statycznym charakterze obciążeń.

Na podstawie uzyskanych wyników obliczeń przeprowadzono analizę optymalizacji wartości granic plastyczności i parametrów geometrycznych dla poszczególnych członów stojaka. Załączony program obliczeń może być stosowany dla wszystkich analogicznych konstrukcji siłowników hydraulicznych.

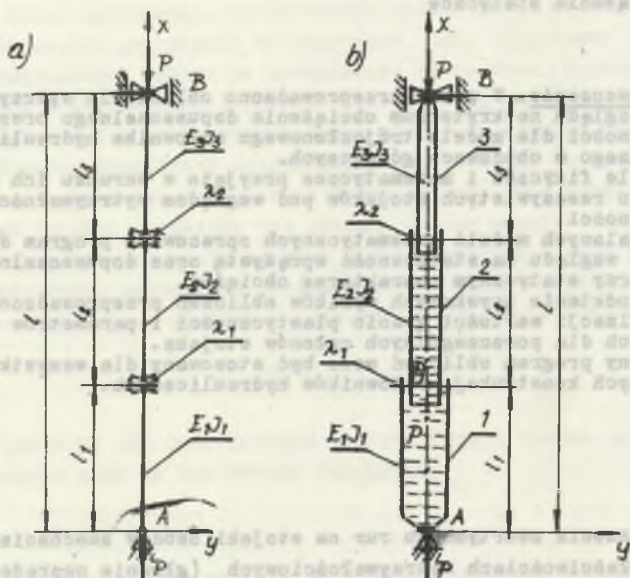
### 1. WSTĘP

Dla zmniejszenia asortymentu rur na stojaki obudów zmechanizowanych przy danych właściwościach wytrzymałościowych (głównie naprężeniu na granicy plastyczności  $R_p$ ) zaistniała potrzeba ujednoczenia obliczeń wytrzymałościowych stojaków.

W tym celu opracowano adekwatne do rzeczywistych stojaków modele fizyczne i matematyczne. Modele te badano ze względu na stateczność sprężystą i dopuszczalne naprężenie, zakładając statyczny charakter obciążeń. Opracowano program obliczeń numerycznych pozwalający na optymalizację parametrów wytrzymałościowo-mechanicznych przy założonych wybranych parametrach geometrycznych. Przytoczono ponadto przykład numeryczny obliczeń stojaka obudowy typu GLINIK. Załączony program ma charakter o tyle uniwersalny, że może być stosowany dla wszystkich przedstawionych w pracy konstrukcji stojaków.

## 2. OKREŚLENIE SIŁY KRYTYCZNEJ SIŁOWNIKA HYDRAULICZNEGO W ZALEŻNOŚCI OD JEGO KONSTRUKCJI, W ZAKRESIE ODKSZTAŁCEŃ SPRĘŻYSTYCH

W pierwszej kolejności badania wartości siły krytycznej przeprowadzono na dwóch modelach fizycznych stojaków dwuteleskopowych "a" i "b" (rys. 1). Wykazano, że oba założone modele fizyczne są adekwatne pod względem wartości sił krytycznych. Rysunek 2 przedstawia wyboconą postać układu trzech współosiowych prętów o różnych sztywnościach zginania, połączonych przegubowo sprężysto. Zakłada się, że przy zginaniu przekroje prętów w przegubach sprężystych obracają się o różne kąty. Wartości różnic tych kątów są proporcjonalne do odpowiednich momentów zginających.



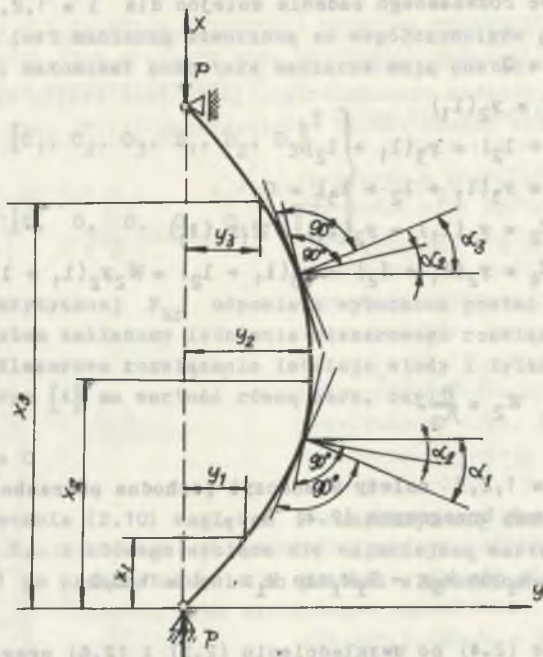
Rys. 1. Modele fizyczne "a" i "b" stojaka dwuteleskopowego złożonego z:  
1 - spodnika, 2 - środknika, 3 - rdzennika  
(model "a" prętowy, "b" rurowy)

Fig. 1. Physical models "a" and "b" of the two-telescopic prop consisting of  
1 - lower prop, 2 - web, 3 - upper prop  
(model "a" - rod-like, "b" - tubular)

Współczynniki proporcji oznaczono przez:

$$\frac{1}{\lambda_1} - \text{dla przegubu pierwszego}$$

$$\frac{1}{\lambda_2} - \text{dla przegubu drugiego.}$$



Rys. 2. Odkształcona postać modelu fizycznego "a" stojaka dwuteleskopowego

Fig. 2. Deflected physical model "a" of the two-telescopic prop.

Pomija się przesunięcie wzdłuż osi pręta w przegubie wywołane ściśliwością płynu.

Równania różniczkowe poszczególnych odcinków osi wyobczonego pręta mają postać:

$$E_1 I_1 = \frac{d^2 y_i}{dx^2} = -P y_i \quad (2.1)$$

$i = 1, 2, 3.$

Rozwiązanie ogólnego układu równań (2.1) jest następujące:

$$y_i = C_i \sin k_i x + D_i \cos k_i x \quad (2.2)$$

gdzie:

$$k_i^2 = \frac{P}{E_1 I_1}, \quad i = 1, 2, 3 \quad (2.3)$$

Warunki brzegowe rozważanego zadania kolejno dla  $i = 1, 2, 3$  mają postać:

$$\begin{aligned}
 1) & y_1(0) = 0 \\
 2) & y_1(l_1) = y_2(l_1) \\
 3) & y_2(l_1 + l_2) = y_3(l_1 + l_2) \\
 4) & y_3(l) = y_3(l_1 + l_2 + l_3) = 0 \\
 5) & \alpha_1 - \alpha_2 = y_1(l_1) - y_2(l_1) = \mathcal{K}_1 y_1(l_1) \\
 6) & \alpha_3 - \alpha_4 = y_2(l_1 + l_2) - y_3(l_1 + l_2) = \mathcal{K}_2 y_2(l_1 + l_2)
 \end{aligned} \tag{2.4}$$

gdzie:

$$\mathcal{K}_1 = \frac{P}{\mathcal{A}_1}, \quad \mathcal{K}_2 = \frac{P}{\mathcal{A}_2}. \tag{2.5}$$

Kolejno dla  $i = 1, 2, 3$  należy wyznaczyć pochodne potrzebne do wykorzystania w warunkach brzegowych (2.4)

$$y'_i(x) = C_i k_i \cos k_i x - D_i k_i \sin k_i x \quad i = 1, 2, 3 \tag{2.6}$$

Warunki brzegowe (2.4) po uwzględnieniu (2.2) i (2.6) przyjmują postać:

$$\begin{aligned}
 1) & D_1 = 0 \\
 2) & C_1 \sin k_1 l_1 + D_1 \cos k_1 l_1 - C_2 \sin k_2 l_1 - D_2 \cos k_2 l_1 = 0 \\
 3) & C_2 \sin k_2 (l_1 + l_2) + D_2 \cos k_2 (l_1 + l_2) \\
 & \quad - C_3 \sin k_3 (l_1 + l_2) - D_3 \cos k_3 (l_1 + l_2) = 0 \\
 4) & C_3 \sin k_3 l + D_3 \cos k_3 l = 0 \\
 5) & C_1 k_1 \cos k_1 l_1 - D_1 k_1 \sin k_1 l_1 - C_2 k_2 \cos k_2 l_1 \\
 & \quad + D_2 k_2 \sin k_2 l_1 - \mathcal{K}_1 C_1 \sin k_1 l_1 - \mathcal{K}_1 D_1 \cos k_1 l_1 = 0 \\
 6) & C_2 k_2 \cos k_2 (l_1 + l_2) - D_2 k_2 \sin k_2 (l_1 + l_2) \\
 & \quad - C_3 k_3 \cos k_3 (l_1 + l_2) + D_3 k_3 \sin k_3 (l_1 + l_2) \\
 & \quad - \mathcal{K}_2 C_2 \sin k_2 (l_1 + l_2) - \mathcal{K}_2 D_2 \cos k_2 (l_1 + l_2) = 0
 \end{aligned} \tag{2.7}$$

Układ równań (2.7) jest układem równań liniowych, jednorodnym ze względu na niewiadome  $C_1, C_2, C_3, D_1, D_2, D_3$  i może być zanotowany w zapisie macierzowym

$$[A]_{6 \times 6} \cdot [X]_{6 \times 1} = [0]_{6 \times 1} \tag{2.8}$$

gdzie  $[A]_{6 \times 6}$  jest macierzą utworzoną ze współczynników przy  $C_1, D_1$  równania (2.7), natomiast pozostałe macierze mają postać:

$$\left. \begin{aligned} [X]_{6 \times 1} &= [C_1, C_2, C_3, D_1, D_2, D_3]^T \\ [0]_{6 \times 1} &= [0, 0, 0, 0, 0, 0]^T \end{aligned} \right\} \quad (2.9)$$

Ponieważ sile krytycznej  $P_{kr}$  odpowiada wyobczona postać osi odkształconej pręta, zatem zakładamy istnienie niezerowego rozwiązania układu równań (2.8). Niezerowe rozwiązanie istnieje wtedy i tylko wtedy, gdy wyznacznik macierzy  $[A]$  ma wartość równą zero, czyli

$$\det [A] = 0 \quad (2.10)$$

Rozwiązując równanie (2.10) względem  $P$  uzyskuje się zbiór wartości krytycznych siły  $P$ , z którego wybiera się najmniejszą wartość dodatnią. Równanie (2.10) po przekształceniu do postaci algebraicznej przyjmuje postać [9]:

$$\begin{aligned} &k_2 k_3 \text{ctg} k_2 l_2 \text{ctg} k_3 l_3 + k_3 k_1 \text{ctg} k_3 l_3 \text{ctg} k_1 l_1 + \\ &k_1 k_2 \text{ctg} k_1 l_1 \text{ctg} k_2 l_2 - [\mathcal{H}_1 (k_2 \text{ctg} k_2 l_2 + k_3 \text{ctg} k_3 l_3) + \\ &\mathcal{H}_2 (k_1 \text{ctg} k_1 l_1 + k_2 \text{ctg} k_2 l_2)] + \mathcal{H}_1 \mathcal{H}_2 - k_2^2 = Q \end{aligned} \quad (2.11)$$

$$\begin{aligned} &(\mathcal{H}_1 \mathcal{H}_2 - k_2^2) \text{tg} k_1 l_1 \text{tg} k_2 l_2 \text{tg} k_3 l_3 - \\ &[\mathcal{H}_1 \text{tg} k_1 l_1 (k_2 \text{tg} k_3 l_3 + k_3 \text{tg} k_2 l_2) + \\ &\mathcal{H}_2 \text{tg} k_3 l_3 (k_1 \text{tg} k_2 l_2 + k_2 \text{tg} k_1 l_1)] + k_2 k_3 \text{tg} k_1 l_1 + \\ &k_3 k_1 \text{tg} k_2 l_2 + k_1 k_2 \text{tg} k_3 l_3 = 0 \end{aligned} \quad (2.12)$$

Wartość siły krytycznej  $P_{kr}$  należy wyznaczać z równania (2.11) lub (2.12), przyjmując wartości  $l_1, E_1, I_1, \lambda_1, \lambda_2$ .

Ponieważ równanie ma charakter przestępny, do jego rozwiązania należy użyć metody przybliżonej, opracowując jednocześnie odpowiedni program na maszynie cyfrową (rozdział 4).

Na podstawie literatury [2], [4] układ równań różniczkowych opisujący oś wyobczonego pręta, w przypadku przyjęcia modelu "b" (rys. 1b), ma następującą postać:

$$E_1 I_1 y_1'' = -P_1 y_1'' \quad i = 1, 2 \quad (2.13)$$

$$E_1 I_1 y_1'' = P_1 y_1'' \quad i = 3$$

Model "b" różni się tym od modelu "a", że uwzględniono w nim ciśnienia cieczy w cylindrach oznaczonych jako "1" i "2". Model ten zatem lepiej przybliża cechy obiektu rzeczywistego, jakim jest stojak dwuteleskopowy. Rozwiązanie ogólne układu równań różniczkowych (2.13) jest następujące:

$$\begin{aligned} (2.13) \quad y_1 &= A_1 + B_1 x + C_1 \sin k_1 x + D_1 \cos k_1 x & i &= 1, 2 \\ y_1 &= C_1 \sin k_1 x + D_1 \cos k_1 x & i &= 3 \end{aligned} \quad (2.14)$$

gdzie

$$k_1^2 = \frac{P}{E_1 I_1} \quad i = 1, 2, 3 \quad (2.15)$$

$$\kappa_1 = \frac{P}{\lambda_1}; \quad \kappa_2 = \frac{P}{\lambda_2}$$

W rozwiązaniu (2.14) występuje dziesięć stałych dowolnych  $A_1, A_2, B_1, B_2, C_1, C_2, C_3, D_1, D_2, D_3$ .

Warunki brzegowe rozważanego zagadnienia mają postać:

$$\begin{aligned} 1) \quad y_1(0) &= 0 \\ 2) \quad y_1''(0) &= 0 \\ 3) \quad y_1(l_1) &= y_2(l_1) \\ 4) \quad y_1'(l_1) - y_2'(l_1) &= \kappa_1 y_1(l_1) \\ 5) \quad y_1''(l_1) &= -\kappa_1^2 y_1(l_1) \\ 6) \quad \kappa_2^2 y_1''(l_1) &= \kappa_1^2 y_2''(l_1) \\ 7) \quad y_2(l_1 + l_2) &= y_3(l_1 + l_2) \\ 8) \quad y_2'(l_1 + l_2) - y_3'(l_1 + l_2) &= \kappa_2 y_2(l_1 + l_2) \\ 9) \quad y_2''(l_1 + l_2) &= -\kappa_2^2 y_2(l_1 + l_2) \\ 10) \quad y_3(l) &= 0 \end{aligned} \quad (2.16)$$

Rozwiązując układ równań (2.14) z warunkami brzegowymi (2.16) uzyskuje się postać równania identyczną z (2.12). Oznacza to, że wartości sił krytycznych  $P_{kr}$ , uzyskane na podstawie modelu "a", są takie same jak wartości sił krytycznych uzyskane na podstawie modelu "b". Zatem modele "a" i "b" są adekwatne pod względem wartości sił krytycznych. Podobną własność można by wykazać dla przypadku stojaka n-teleskopowego. Wynika stąd, że ciśnienia wewnątrz cylindrów nie mają wpływu na wartości sił krytycznych P.

O wartościach tych sił decydują sztywności zginania poszczególnych odcinków stojaka, długości tych odcinków oraz sztywności połączeń przegubowo sprężystych wyrażone współczynnikami  $\lambda_1$  i  $\lambda_2$ .

Zatem dla przedstawionego na rys. 3 modelu stojaka jednoteleskopowego z przedłużaczem można wyznaczyć siły krytyczne takie same jak dla modelu stojaka dwuteleskopowego, uwzględniając odpowiednio sztywności i długości jego odcinków, korzystając z równania (2.11). Model fizyczny siłownika jednoteleskopowego bez przedłużacza (rys. 4) stanowi uproszczenie modelu siłownika dwuteleskopowego. Rozwiązanie dla tego przypadku otrzymuje się podstawiając w równaniu (2.12) wartości  $l_3 = 0$  i  $\lambda_1 = \lambda$ :

$$-\lambda k_3 \operatorname{tg} k_1 l_1 \operatorname{tg} k_2 l_2 + k_2 k_3 \operatorname{tg} k_1 l_1 + k_3 k_1 \operatorname{tg} k_2 l_2 = 0 \quad (2.17)$$

oraz po podzieleniu stronami przez  $k_3 \operatorname{tg} k_1 l_1 \operatorname{tg} k_2 l_2$  otrzymujemy:

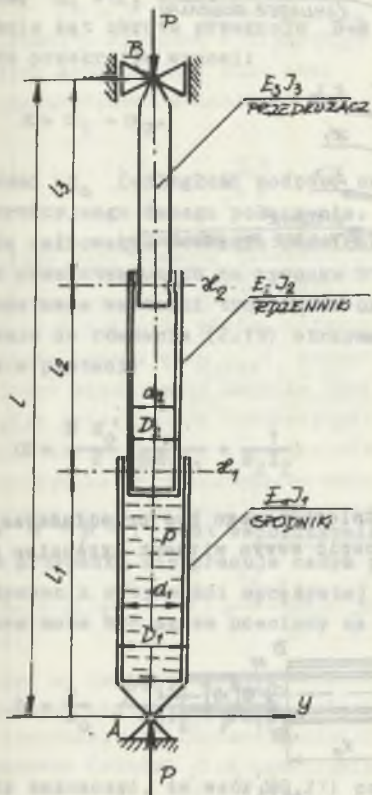
$$k_1 \operatorname{ctg} k_1 l_1 + k_2 \operatorname{ctg} k_2 l_2 - \lambda = 0 \quad (2.18)$$

Z równania (2.18) można wyznaczyć wartości krytyczne sił  $P_{kr}$  dla stojaka jednoteleskopowego bez przedłużacza. Równanie (2.18) jest zgodne z równaniem podanym w literaturze [3, 4].

W ten sposób równanie (2.12) stanowi uogólnienie równania (2.18) w odniesieniu do stojaków dwuteleskopowych.

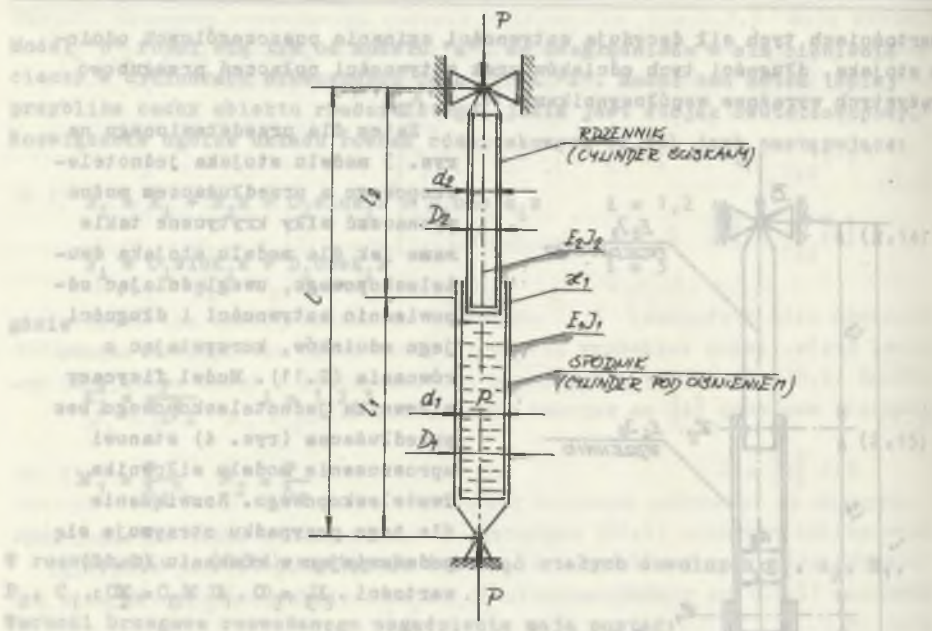
### 3. OCENA WSPÓŁCZYNNIKA $\lambda$

Do analitycznej oceny współczynnika  $\lambda$  przyjęto uproszczony model fizyczny połączenia teleskopowego przedstawiony na rysunku 5.

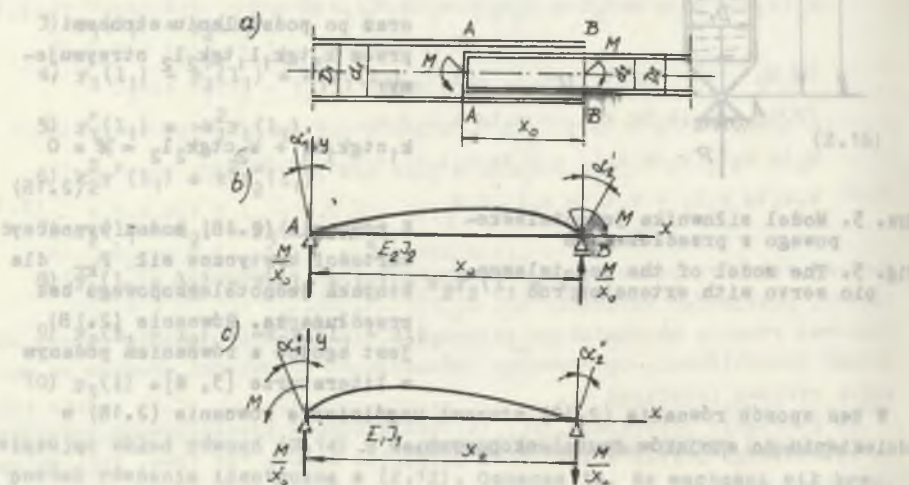


Rys. 3. Model siłownika jednoteleskopowego z przedłużaczem

Fig. 3. The model of the one-telescopic servo with extension rod



Rys. 4. Model fizyczny stojaka jednoteleskopowego bez przedłużacza  
 Fig. 4. Physical model of the one-telescopic servo without extension rod



Rys. 5. Model fizyczny połączenia teleskopowego

Fig. 5. Physical model of the telescopic link



W celu określenia kąta obrotu przekroju B-B połączenia teleskopowego względem przekroju A-A jako funkcji momentu  $M$  posłużono się dwoma belkami (rys. 5b,c).

Korzystając z zasady superpozycji określono kąt obrotu przekroju A-A jako sumę  $\alpha_1 = \alpha'_1 + \alpha''_1$ .

Podobnie kąt obrotu przekroju B-B jako sumę  $\alpha_2 = \alpha'_2 + \alpha''_2$ . Względny kąt obrotu przekrojów wynosi:

$$\alpha = \alpha_1 - \alpha_2. \quad (2.19)$$

Wielkość  $x_0$  (odległość podpór) należy każdorazowo odczytać z rysunku konstrukcyjnego danego połączenia.

Metodą całkowania równania różniczkowego osi odkształconej wyznaczono dla belek przedstawionych na rysunku 5 wartości kątów  $\alpha'_1, \alpha''_1$  oraz  $\alpha'_2, \alpha''_2$ . Na podstawie wartości tych kątów określono  $\alpha_1$  i  $\alpha_2$ , a wstawiając te ostatnie do równania (2.19) otrzymano względny kąt obrotu obu przekrojów belek w postaci:

$$\alpha = \frac{M x_0}{2} \left( \frac{1}{\beta E_1 I_1} + \frac{1}{E_2 I_2} \right) \quad (2.20)$$

gdzie  $0 < \beta < 1$  jest współczynnikiem uwzględniającym fakt, że belka w danym przypadku nie pracuje całym przekrojem.

Współczynnik sztywności sprężystej przegubu modelującego połączenie teleskopowe może być zatem oceniony na podstawie wzoru (2.20) następująco:

$$\lambda = \frac{2}{x_0} \frac{\beta E_1 I_1 * E_2 I_2}{E_2 I_2 + \beta E_1 I_1} \quad (2.21)$$

Należy zaznaczyć, że wzór (2.21) podaje jedynie przybliżoną ocenę wartości współczynnika  $\lambda$ . Konieczne do stosowania wzoru (2.21) wartości  $x_0$  na podstawie rysunku konstrukcyjnego oraz wartość współczynnika osłabienia  $\beta$  mogą być określone jedynie z dużym przybliżeniem. Uściślić wartość współczynnika  $\lambda$  można jedynie eksperymentalnie.

#### 4. OKREŚLENIE DOPUSZCZALNEJ SIŁY OBCIĄŻAJĄCEJ STOJAK

W pierwszej kolejności obliczenia siły dopuszczalnej przeprowadza się dla elementów stojaka dwuteleskopowego obciążonego jak na rysunku 6 dla następujących przypadków:

a) spodek pracuje jako rura grubościenna obciążona ciśnieniem wewnętrznym:

$$P = \frac{4 P}{\pi d_1^2} \quad (2.22)$$



b) środek - podobnie - pracuje jako rura grubościenna obciążona ciśnieniem wewnętrznym:

$$P_1 = \frac{4 P}{\pi d_2^2} \quad (2.23)$$

c) rdzennik pracuje jako pręt ścisłkowy siłą  $P$ .

Ponadto należy określić siłę krytyczną  $P_{KR}$ , przy której stojak jako złożona konstrukcja traci stateczność. Dopuszczalną siłę  $P_1$  wynikającą z projektowania spodka na dopuszczalne naprężenie wyznaczono korzystając z rozwiązania Lamego

$$\sigma_r = \frac{p d_1^2}{D_1^2 - d_1^2} \left( 1 + \frac{D_1^2}{4 r^2} \right); \quad \sigma_t = 0 \quad (2.24)$$

Rozkład naprężeń podano na rys. 7. Wartości naprężeń zredukowanych (wg hipotezy energii odkształcenia postaciowego M.T. Hubera) wynoszą

$$\sigma_{red} = \sqrt{\sigma_r^2 + \sigma_t^2} = \sigma_r$$

Rys. 6. Model obliczeniowy z obciążeniem stojaka dwuteleskopowego

Fig. 6. Analytical model with a load of the two-telescopic prop

Wychodząc z nierówności

$$\sigma_{red \max} \leq \frac{R_{e1}}{n_1} \quad (2.26)$$

gdzie:

$R_{e1}$  - naprężenie na granicy plastyczności przy rozciąganiu materiału spodka,

$n_1$  - współczynnik bezpieczeństwa dla spodka,

otrzymuje się nierówność ograniczającą od góry siłę rozporu stojaka (ze względu na wytrzymałość spodnika):

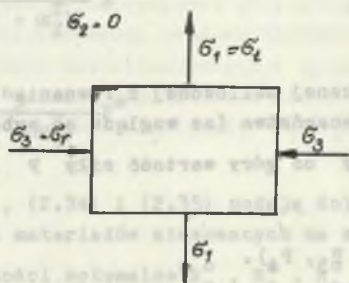
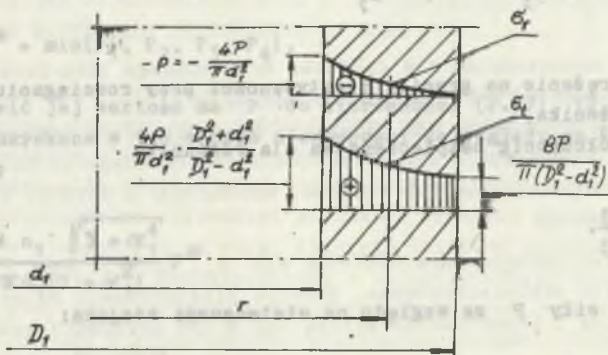
$$P < P_1 = \frac{\pi d_1^2}{4 n_1} \frac{1 - \alpha_1^2}{\sqrt{3 + \alpha_1^4}} R_{e1}, \quad (2.27)$$

gdzie

$$\alpha_1 = \frac{d_1}{D_1}.$$

Analogicznie uzyskuje się odpowiednie ograniczenie od góry dla siły  $P$  ze względu na wytrzymałość środnika, a mianowicie:

$$P < P_2 = \frac{\pi d_2^2}{4 n_2} \frac{1 - \alpha_2^2}{\sqrt{3 + \alpha_2^4}} R_{e2}, \quad (2.28)$$



Rys. 7. Rozkład naprężeń w cylindrze środnika i spodnika  
 Fig. 7. Stress distribution in web and upper prop's cylinder

gdzie:

$R_{e2}$  - naprężenie na granicy plastyczności przy rozciąganiu materiału  
środnika,

$n_2$  - współczynnik bezpieczeństwa dla środnika,

$$\alpha_2 = \frac{d_2}{D_2}.$$

Jak wynika ze schematu obciążenia, rdzennik jest ściskanym cylindrem bądź walcem. Zatem ograniczenie siły  $P$  ze względu na wytrzymałość rdzennika ma postać:

$$\frac{4P}{D_3^2 - d_3^2} < \frac{R_{e3}}{n_3}, \quad (2.29)$$

skąd:

$$P < P_3 = \frac{D_3^2}{4n_3} (1 - \alpha_3^2) R_{e3}, \quad (2.30)$$

gdzie:

$R_{e3}$  - naprężenie na granicy plastyczności przy rozciąganiu materiału  
rdzennika,

$n_3$  - współczynnik bezpieczeństwa dla rdzennika

$$\alpha_3 = \frac{d_3}{D_3}.$$

Ograniczenie siły  $P$  ze względu na stateczność stojaka:

$$P < P_4 = \frac{P_{kr}}{n_4}, \quad (2.31)$$

gdzie:

$P_{kr}$  - wartość siły krytycznej obliczonej z równania (2.11) lub (2.12),

$n_4$  - współczynnik bezpieczeństwa (ze względu na wyoboczenie).

Ogólny warunek ograniczający od góry wartość siły  $P$  jest zatem następujący:

$$P \leq P^* = \min (P_1, P_2, P_3, P_4). \quad (2.32)$$

Rzeczywista siła nośna stojaka (podporność) musi być nie większa od wyznaczonej siły dopuszczalnej  $P^*$ .

Przy wyznaczaniu naprężeń zredukowanych dla spodnika i środnika skorzystano ze wzorów Lamego, które są ściśle ważne jedynie dla rur grubościennych nieskończenie długich. W rozważanym przypadku dochodzi zagadnienie spiętrzenia naprężeń na końcach cylindrów. Proponuje się uwzględnić te zwiększone naprężenia przez zwiększenie współczynników bezpieczeństwa  $n_1$  i  $n_2$ .

Z elementów stojaka jedynie rdzennik pracuje na ściskanie. Przyjęcie zatem odpowiednio dużego współczynnika bezpieczeństwa  $n_3$  pozwala traktować zagadnienie wyboczenia stojaka jako zagadnienie wyboczenia sprężystego.

Z danych literaturowych [2, 4, 6] wynika, że dla istniejących i stosowanych konstrukcji stojaków najmniejsza wartość siły dopuszczalnej jest na ogół określona wartością siły dopuszczalnej  $P_4$ . Oznacza to, że największe zagrożenie dla konstrukcji stojaka stanowi utrata stateczności. Jest to tym bardziej uzasadnione, że rozpatrując stateczność stojaka, przyjęto mimośród działania siły ściskającej równy zero ( $e = 0$ ), co w praktyce jest niemożliwe do ścisłego zrealizowania.

Przyjmując zatem, że

$$P_4 = P^* = \min(P_1, P_2, P_3, P_4), \quad (2.32a)$$

można podstawić jej wartość za  $P$  do nierówności (2.27), (2.28), (2.30). Rozwiązując uzyskane w ten sposób nierówności ze względu na  $R_{e1}$ ,  $R_{e2}$ ,  $R_{e3}$  uzyskuje się:

$$R_{e1} \geq \frac{4 n_1 \sqrt{3 + \alpha_1^4}}{\pi d_1^2 (1 - \alpha_1^2)} P^* \quad (2.33)$$

$$R_{e2} \geq \frac{4 n_2 \sqrt{3 + \alpha_2^4}}{\pi d_2^2 (1 - \alpha_2^2)} P^* \quad (2.34)$$

$$R_{e3} \geq \frac{4 n_3}{\pi D_3^2 (1 - \alpha_3^2)} P^* \quad (2.35)$$

Nierówności (2.33), (2.34) i (2.35) podają dolne ograniczenia wartości  $R_{e1}$ ,  $R_{e2}$ ,  $R_{e3}$  dla materiałów stosowanych na spodnik, środnik, rdzennik.

Są to zarazem wartości optymalne  $R_{e1}^0$ ,  $R_{e2}^0$ ,  $R_{e3}^0$  dla przypadku  $P_4 = P^*$ .

Przyjęcie nowych wartości granic plastyczności uzyskanych na podstawie nierówności (2.33), (2.34), (2.35) nie wpływa w sposób znaczący na wartości siły  $P_4$ , ponieważ występujące w równaniach (2.11) i (2.12) moduły sprężystości podłużnej  $E_1$ ,  $E_2$ ,  $E_3$  są w małym stopniu zależne od rodzaju

stali. Zmniejszają się jednak wartości sił  $P_1, P_2, P_3$  do wartości  $P^*$ . W przypadku gdy  $P_1 = P^*$ , to  $R_{e1}^0 = R_{e1}$

$$R_{e2}^0 = \frac{4 n_2 \sqrt{3 + \alpha_2^4}}{\pi d_2^2 (1 - \alpha_2^2)} P_1 \quad (2.35a)$$

$$R_{e3}^0 = \frac{4 n_3}{\pi D_3^2 (1 - \alpha_3^2)} P_1 \quad (2.35b)$$

Podobnie należy postąpić w przypadkach, gdy  $P_2 = P^*$  oraz  $P_3 = P^*$ . Szczegóły uporządkowanego postępowania podano w opracowanym schemacie blokowym i programie obliczeń numerycznych.

Siłę dopuszczalną  $P$  dla stojaka konstrukcji jednoteleskopowej z przedłużaczem pokazanej na rysunku 3 można wyznaczyć za pomocą wzoru:

$$P^* = \min(P_1, P_2, P_3, P_4) \quad (2.36)$$

przy czym:

- $P_1$  - siła dopuszczalna dla spodnika traktowanego jako rura grubościenna obciążona wewnętrznym ciśnieniem  $p$ ,
- $P_2$  - siła dopuszczalna dla rdzennika pracującego na ściskanie,
- $P_3$  - siła dopuszczalna dla przedłużacza pracującego na ściskanie,
- $P_4$  - siła dopuszczalna dla stojaka, wynikająca z warunku stateczności sprężystej.

Stosując tok postępowania obliczeń sił  $P_1, P_2, P_3, P_4$  i  $P^*$  podobny jak dla stojaka dwuteleskopowego, granice plastyczności materiałów spodnika, rdzennika i przedłużacza wyraża się w tym przypadku zależnościami:

$$R_{e1}^0 = \frac{4 n_1 \sqrt{3 + \alpha_1^4}}{\pi d_1^2 (1 - \alpha_1^2)} P^* \quad (2.37)$$

$$R_{e2}^0 = \frac{4 n_2}{\pi D_2^2 (1 - \alpha_2^2)} P^* \quad (2.38)$$

$$R_{e3}^0 = \frac{4 n_3}{\pi D_3^2} P^* \quad (2.39)$$

Siłę dopuszczalną  $P^*$  dla stojaka konstrukcji jednoteleskopowej bez przedłużacza (rys. 4) można wyznaczyć za pomocą wzoru:

$$P^* = \min(P_1, P_2, P_3), \quad (2.40)$$

gdzie:

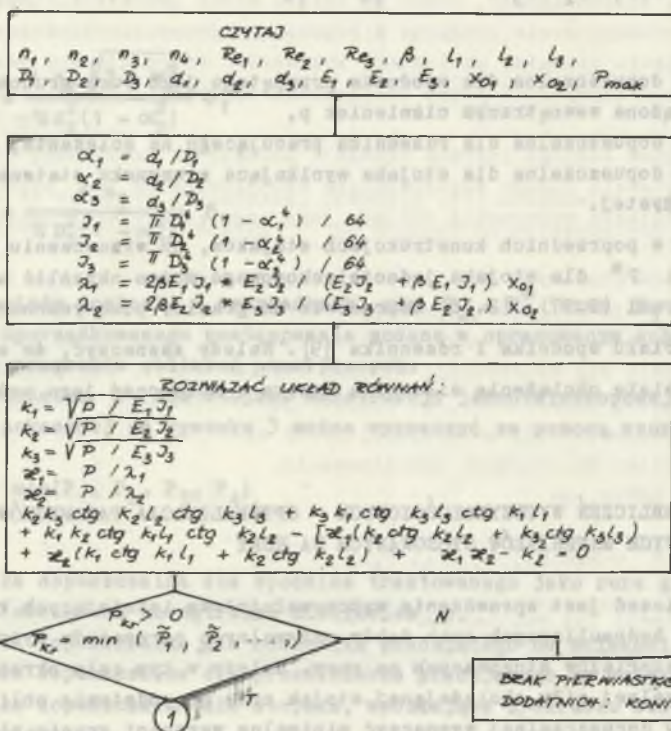
- $P_1$  - siła dopuszczalna dla spodnika przyjętego jako rura grubościenna obciążona wewnętrznym ciśnieniem  $p$ ,
- $P_2$  - siła dopuszczalna dla rdzennika pracującego na ściskanie,
- $P_3$  - siła dopuszczalna dla stojaka wynikająca z warunku stateczności sprężystej.

Podobnie jak w poprzednich konstrukcjach stojaków, po wyznaczeniu sił  $P_1, P_2, P_3$  i  $P^*$  dla stojaka jednoteleskopowego można określić analogicznymi wzorami (2.37), (2.38) naprężenie na granicy plastyczności  $R_{e1}^0$ ,  $R_{e2}^0$  dla materiału spodnika i rdzennika [9]. Należy zaznaczyć, że maksymalne rzeczywiste obciążenie siłownika wynika z założonej jego nośności statycznej.

#### 5. ALGORYTM OBLICZEŃ WYTRZYMAŁOŚCIOWYCH - OPTYMALIZACJA PARAMETRÓW MECHANICZNYCH MATERIAŁÓW STOSOWANYCH NA RURY

Celem obliczeń jest sprawdzenie wytrzymałościowe istniejących konstrukcji stojaków hydraulicznych oraz dobór optymalnych parametrów wytrzymałościowych materiałów stosowanych na rury. Należy w tym celu określić wartość dopuszczalnej siły obciążającej stojak oraz na podstawie obliczonej wartości siły dopuszczalnej wyznaczyć minimalne wartości granic plastyczności materiałów stosowanych na rury. Algorytm obliczeń pomyślany jest tak, aby obejmował stojaki dwuteleskopowe o najogólniejszej konstrukcji oraz pozostałe prostsze konstrukcje stojaków, traktowane jako przypadki szczególne. Na rysunku 8 przedstawiono przykładowo schemat blokowy jednego z algorytmów obliczeń wytrzymałościowych dla stojaka dwuteleskopowego. Dane do programu obliczeń numerycznych przyjęto według rysunków konstrukcyjnych stojaka dwuteleskopowego obudowy GLINIK-08/22-0z (szczegółowy program obliczeń siłowników dwuteleskopowych w języku "BASIC" znajduje się w pracy [9]). Wydruk wyników z monitora w postaci wykresów przedstawia rysunek 9, na którym naniesiono wartości  $P_1, P_2, P_3, P_4, R_{e1}, R_{e2}, R_{e3}$ .

Schemat blokowy:



## 6. ANALIZA WYNIKÓW OBLICZEŃ

Z obliczeń wytrzymałościowych stojaka dwuteleskopowego otrzymano następujące wartości sił dopuszczalnych:

dla spodnika  $P_1 = 1,85951$  [MN],

dla środniczka  $P_2 = 1,37003$  [MN],

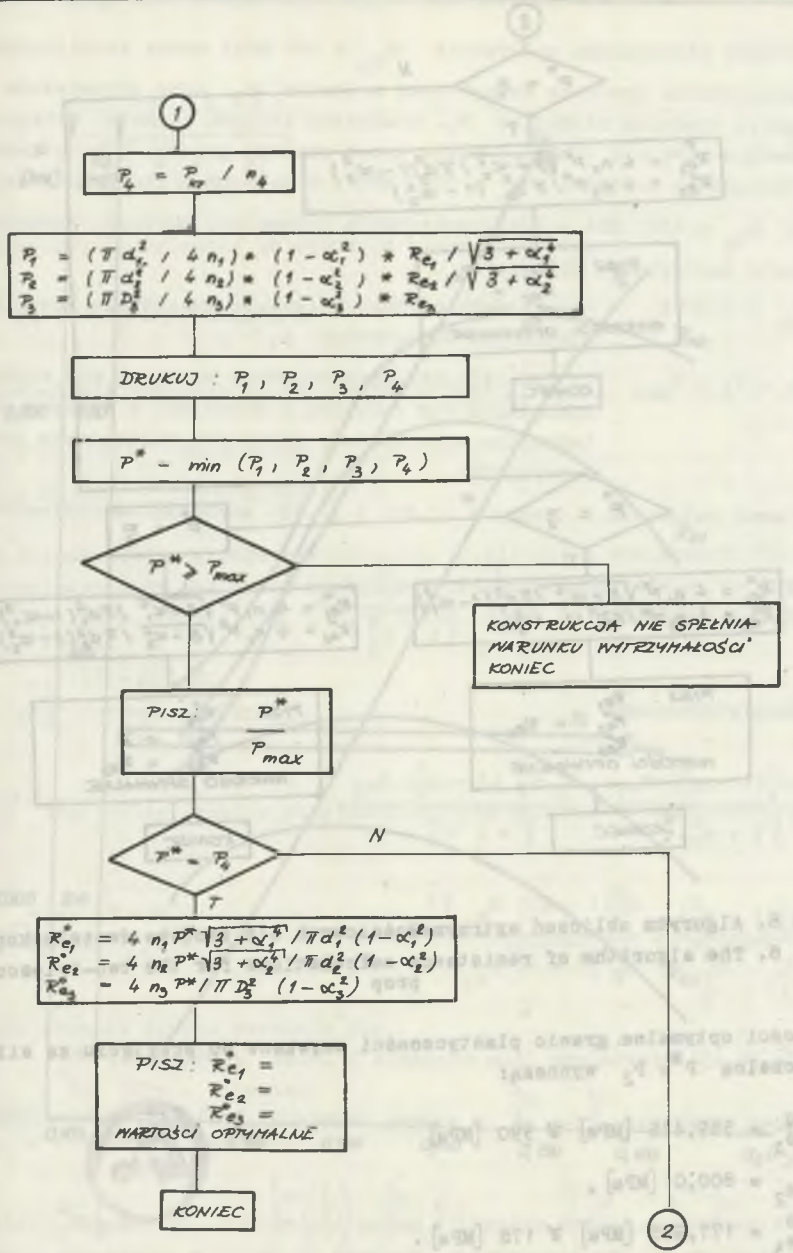
dla rdzenniczka  $P_3 = 6,15752$  [MN]

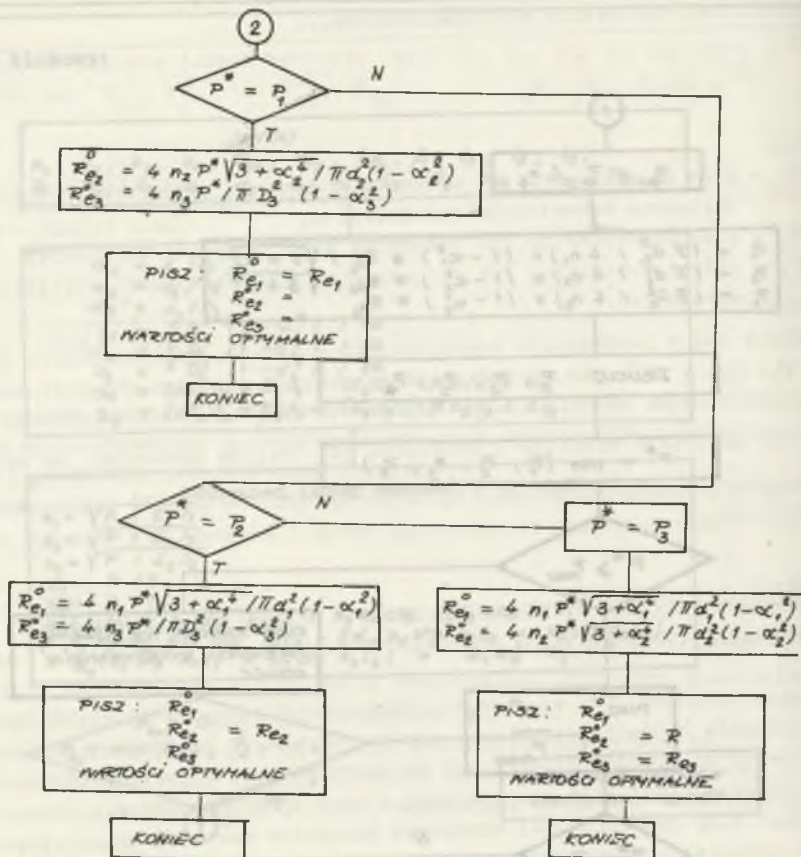
oraz siłę dopuszczalną wynikającą ze stateczności stojaka

$P_4 = 2,29854$  [MN].

Z zestawienia tych sił wynika, że elementem stojaka najbardziej narażonym na zniszczenie jest środniczka, dla którego siła dopuszczalna  $P_2$  jest tylko nieznacznie większa od siły wynikającej z założonej nośności stojaka  $P_{max} = 1,3$  [MN].







Rys. 8. Algorytm obliczeń wytrzymałościowych dla stojaka dwuteleskopowego  
Fig. 8. The algorithm of resistance calculations for the two-telescopic prop

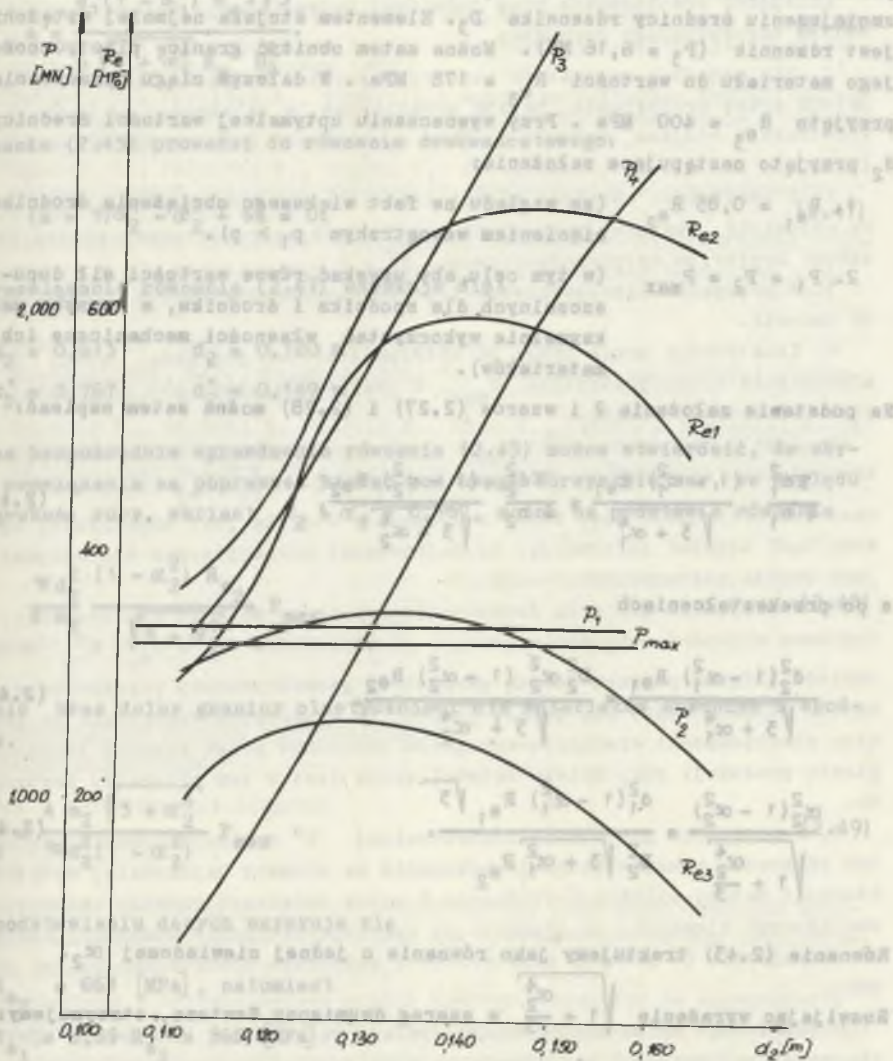
Wartości optymalne granic plastyczności uzyskane po przyjęciu za siłę dopuszczalną  $P^* = P_2$  wynoszą:

$$R_{e1}^0 = 589,416 \text{ [MPa]} \approx 590 \text{ [MPa]}$$

$$R_{e2} = 800,0 \text{ [MPa]},$$

$$R_{e3}^0 = 177,998 \text{ [MPa]} \approx 178 \text{ [MPa]}.$$

Dalsza optymalizacja wartości granic plastyczności jest niemożliwa bez naruszenia geometrii narzuconej przez istniejącą konstrukcję stojaka. Z uzyskanych wyników można wywnioskować, że obniżenie granicy plastyczno-



Rys. 9. Wykresy uzyskane z wydruków ETO dla stojaka dwuteleskopowego dla obudowy GLINIK - 08/22-0z

Fig. 9. Diagrams obtained from ETO printouts for the two-telescopic prop for the lining GLINIK - 08/22-0z

ści materiału stosowanego na środnik ( $R_{e2} = 800$  MPa) można zrealizować przez zmniejszenie średnicy wewnętrznej środnika  $d_2$  przy odpowiednim zmniejszeniu średnicy rdzennika  $D_3$ . Elementem stojaka najmniej wyciężonym jest rdzennik ( $P_3 = 6,16$  MN). Można zatem obniżyć granicę plastyczności jego materiału do wartości  $R_{e3} = 178$  MPa. W dalszym ciągu opracowania przyjęto  $R_{e3} = 400$  MPa. Przy wyznaczaniu optymalnej wartości średnicy  $d_2$  przyjęto następujące założenia:

1.  $R_{e1} = 0,85 R_{e2}$  (ze względu na fakt większego obciążenia środnika ciśnieniem wewnętrznym  $p_1 > p$ ).
2.  $P_1 = P_2 = P_{\max}$  (w tym celu, aby uzyskać równe wartości sił dopuszczalnych dla spodnika i środnika, a zarazem maksymalnie wykorzystać własności mechaniczne ich materiałów).

Na podstawie założenia 2 i wzorów (2.27) i (2.28) można zatem napisać:

$$\frac{\pi d_1^2}{4} \frac{(1 - \alpha_1^2) R_{e1}}{\sqrt{3 + \alpha_1^4}} = \frac{\pi d_2^2}{4} \frac{(1 - \alpha_2^2) R_{e2}}{\sqrt{3 + \alpha_2^4}} \quad (2.41)$$

a po przekształceniach

$$\frac{d_1^2 (1 - \alpha_1^2) R_{e1}}{\sqrt{3 + \alpha_1^4}} = \frac{D_2^2 \alpha_2^2 (1 - \alpha_2^2) R_{e2}}{\sqrt{3 + \alpha_2^4}} \quad (2.42)$$

$$\frac{\alpha_2^2 (1 - \alpha_2^2)}{\sqrt{1 + \frac{\alpha_2^4}{3}}} = \frac{d_1^2 (1 - \alpha_1^2) R_{e1} \sqrt{3}}{D_2^2 \sqrt{3 + \alpha_1^2} R_{e2}} \quad (2.43)$$

Równanie (2.43) traktujemy jako równanie o jednej niewiadomej  $\alpha_2$ .

Rozwijając wyrażenie  $\sqrt{1 + \frac{\alpha_2^4}{3}}$  w szereg dwumiany Newtona, otrzymujemy:

$$\sqrt{1 + \frac{\alpha_2^4}{3}} = \left(1 + \frac{\alpha_2^4}{3}\right)^{\frac{1}{2}} = 1 + \left(\frac{1}{2}\right) \frac{\alpha_2^4}{3} + \left(\frac{1}{2}\right) \frac{\alpha_2^8}{9} + \dots \approx 1 + \frac{1}{6} \alpha_2^4 \quad (2.44)$$

Uwzględniając przybliżenie (2.44) w równaniu (2.43) uzyskuje się:

$$\frac{\alpha_2^2 (1 - \alpha_2^2)}{6 + \alpha_2^4} = a \quad (2.45)$$

gdzie:

$$s = \frac{d_1^2 (1 - \alpha_1^2) R_{e1} \sqrt{3}}{6 \sqrt{3 + \alpha_1^2} R_{e2} D_2^2} \quad (2.46)$$

Równanie (2.45) prowadzi do równania dwukwadratowego:

$$(a + 1)\alpha_2^4 - \alpha_2^2 + 6a = 0. \quad (2.47)$$

Po rozwiązaniu równania (2.47) uzyskuje się:

$$\begin{aligned} \alpha_2' &= 0,613 & d_2' &= 0,120 \text{ m} \\ \alpha_2'' &= 0,767 & d_2'' &= 0,149 \text{ m} \end{aligned}$$

Przez bezpośrednie sprawdzenie równania (2.43) można stwierdzić, że obydwa rozwiązania są poprawne. Biorąc pod uwagę korzystniejszy, ze względu na grubość rury, wariant  $\alpha_2 = \alpha_2'' = 0,767$ , można na podstawie równania

$$\frac{\pi d_2^2 (1 - \alpha_2^2) R_{e2}}{4 n_2 \sqrt{3 + \alpha_2^2}} = P_{\max} \quad (2.48)$$

ocenić kres dolny granicy plastyczności dla materiałów średnika i spodnika.

$$R_{e2} = \frac{4 n_2 \sqrt{3 + \alpha_2^2}}{\pi d_2^2 (1 - \alpha_2^2)} P_{\max} \quad (2.49)$$

Po podstawieniu danych uzyskuje się

$$R_{e2} = 661 \text{ [MPa]}, \text{ natomiast}$$

$$R_{e1} = 0,85 R_{e2} = 562 \text{ [MPa]}$$

W dalszej kolejności, biorąc pod uwagę otrzymane wyniki, przeprowadzono ponownie obliczenia stojąca wg programu przedstawionego na rysunku 8 przy następujących zmienionych danych wyjściowych:

$$d_2 = 0,149 \text{ [m]}; \quad D_3 = 0,128 \text{ [m]}; \quad R_{e1} = 580 \text{ [MPa]};$$

$$R_{e2} = 670 \text{ [MPa]}; \quad R_{e3} = 400 \text{ [MPa]}$$

Pozostałe dane programu nie ulegają zmianie.

## 7. WNIOSKI

Kolejność postępowania przy omówionej optymalizacji należy przyjąć według następującego porządku:

1. Dla zadanych parametrów konstrukcyjnych i wytrzymałościowych, przyjętych przez projektanta, należy zrealizować, w zależności od rodzaju konstrukcji stojaka, schemat blokowy analogiczny do podanego w rozdziale 5.

2. Z realizacji obliczeń według odpowiedniego schematu blokowego wynika odpowiedź, czy przy przyjętych założeniach zaprojektowany stojak czyni zadość kryterium wytrzymałościowemu  $P^* \geq P_{\max}$ .

3. W przypadku niedopełnienia tego kryterium konstrukcję stojaka należy zmienić.

4. Konstrukcję można uznać za wytrzymałościowo poprawną, jeżeli  $P^*$  nieznacznie tylko przewyższa  $P_{\max}$ . W przeciwnym przypadku konstrukcja jest przedymensjonowana.

5. Jeżeli kryterium  $P^* \geq P_{\max}$  jest dopełnione, wówczas można podać kresy dolne naprężeń na granicy plastyczności  $R_{e1}^0$ ,  $R_{e2}^0$ ,  $R_{e3}^0$  i jednocześnie zorientować się, który z elementów stojaka jest najbardziej wyciążony bądź uzyskać informację, że najbardziej niebezpieczna dla stojaka jest utrata stateczności.

6. W przypadku gdy siła dopuszczalna wynika z warunku stateczności, uzyskane wartości naprężenia granicy plastyczności  $R_{e1}^0$ ,  $R_{e2}^0$ ,  $R_{e3}^0$  można obniżyć jedynie poprzez zmianę parametrów geometrycznych przekrojów elementów stojaka. Może się jednak okazać, że wyznaczone naprężenia na granicy plastyczności spełniają wymagania narzucone przez warunki technologiczne produkcji rur. Dalsza optymalizacja jest w tym przypadku zbędna.

7. W przypadku gdy o sile dopuszczalnej  $P^*$  decydują spodnik, środnik lub rdzennik, wówczas istnieje wskazanie na element najbardziej wyciążony. Stosując metodę opisaną w rozdziale 6 można zwiększać grubość najbardziej obciążonego elementu, co prowadzi do dalszego obniżenia wymaganej wartości naprężenia na granicy plastyczności materiału stosowanego na ten element.

Z powyższego opisu metodycznego wynika, że istnieje możliwość obniżania wymaganej wartości naprężenia na granicy plastyczności materiałów stosowanych na rury stojaków. Można w pewnych przypadkach obniżyć granice plastyczności bez zmiany parametrów geometrycznych zaprojektowanego stojaka. Dalsze obniżanie naprężeń na granicy plastyczności można uzyskiwać drogą nieznacznych zmian geometrycznych przekrojów. Każdą konstrukcję należy jednak badać indywidualnie opierając się na jednym z podanych schematów blokowych.

## LITERATURA

- [1] Katalog obudów zmechanizowanych. Komag, Gliwice 1985.
- [2] Fiedosiejew V.I.: Dziesiat lekcji - biesied po soprotivleniju materialov. Izd. Nauka, Moskwa 1969.
- [3] Opolski T., Parkitny R., Tomski L.: Wyboczenie stojaka hydraulicznego jako zagadnienie pręta z przegubem sprężystym. Mechanizacja i Automatyka Górnictwa 1974, nr 8/69.
- [4] Opolski T., Parkitny R., Tomski L.: Obciążenia dopuszczalne stojaków hydraulicznych poddanych wyboczeniu. Mechanizacja i Automatykacja Górnictwa 1975, nr 10/83.
- [5] Jakubowicz A., Orłoś Z.: Wytrzymałość materiałów. WNT, Warszawa 1978.
- [6] Charin V.N., Mamontov S.V., Giejchman I.L.: Voprosy razcziety i nadiežnosti szachtnych gidrauliczeskich kriepej. Izd. Nauka, Moskwa 1970.
- [7] Huber M.T.: Pisma, t. II, PWN, Warszawa 1956.
- [8] Niezgodziński M.E., Niezgodziński T.: Obliczenia zmęczeniowe elementów maszyn. PWN, Warszawa 1973.
- [9] Szuścik W., Bogucki Z., Radzik B., Ober G., Lenart J.: Ujednolicenie wymagań wytrzymałościowych i geometrycznych rur na obudowę. NB-228/RF-2/83. Prace ZZMwG IMG. Biblioteka Instytutu Mechanizacji Górnictwa Politechniki Śląskiej w Gliwicach.

Recenzent: Doc. dr inż. Roman KLUS

Wpłynęło do Redakcji w lutym 1987 r.

УНИФИЦИРОВАННЫЕ РАСЧЕТЫ СОПРОТИВЛЯЕМОСТИ  
ГИДРАВЛИЧЕСКИХ СТОЕК

Часть - Статические нагрузки

Р е з ю м е

В работе приведены расчёты сопротивляемости, имея ввиду критерий допустимой нагрузки и условий статичности для трёхчастичной моделл гидродвигателя, применяемого в горных крепях.

Физические и математические модели принято в условиях их адекватности с реальными крепями с точки зрения статичности и прочности. Для определённых математических моделей разработана программа расчёта, имея ввиду статическую упругость и допустимое напряжение при статическом характере нагрузок. На основании полученных результатов проведён анализ оптимизации величины границ пластичности и геометрических параметров для отдельных частей стойки.

Приложенная программа расчёта может быть применена для всех аналогичных конструкций гидродвигателя.

UNIFICATION OF THE RESISTANCE CALCULATIONS  
OF THE HYDRAULIC PROPS

Part I - Static Loads

S u m m a r y

The paper presents the resistance calculations considering the criterion of the permissible load and the stability condition for the triple-element hydraulic cylinder used in linings.

Physical and mathematical models were accepted if adequate to real props considering resistance and stability.

For the mathematical models the calculation program taking into account elastic stability and permissible stress while static load has been worked out.

On the basis of the obtained results the analysis of the value optimization of the plastic limits and geometric parameters for the particular prop elements has been carried out.

Calculation program included may be used for all the analogic constructions of the hydraulic cylinders.